

اندازه‌گیری آزمایشگاهی در اکتشاف به روش IP به منظور تفکیک کانی‌سازی‌های نوع توده‌ای از افshan

سعید میرزاوی

چکیده

مطالعات آزمایشگاهی برای شناخت خواص الکتریکی نمونه‌های سنگی خصوصاً تعیین کمیتهاي موردنظر در روش IP از اهمیت ویژه‌ای در اکتشافات معدنی برخوردار می‌باشند. روش ژئوفیزیکی IP امروزه در اکتشافات کانسارهای فلزی از اهمیت ویژه‌ای برخوردار می‌باشد. با این وجود تفکیک ناهنجاریهای IP حاصل از کانی‌سازی‌های نوع توده‌ای از افshan با توجه به مقادیر اندازه‌گیری شده IP به روشهای معمول میسر نمی‌باشد.

این تحقیق بر اساس اندازه‌گیریهای آزمایشگاهی قابلیت قطبی شدن^۱ ظاهری در سه جهت عمود بر یکدیگر (A, B, C) انجام گرفته و سپس مقادیر میانگین قابلیت قطبی شدن ظاهری در زمانهای مختلف پس از قطع جریان برق بر روی نمونه‌های سنگی مربوط به کانسار مس تکnar محاسبه شده است. در نتیجه این عملیات مدلی ارایه می‌شود که بر اساس آن با اندازه‌گیری مقادیر قابلیت قطبی شدن ظاهری و سپس محاسبه میانگین آنها در دو زمان زود و دیر پس از قطع جریان مثلاً یکی ۱۷ ثانیه و دیگری ۰/۵ ثانیه و نیز محاسبه نسبت $\frac{۱۷}{۰/۵}$ می‌توان ناهنجاریهای حاصل از کانی‌سازی‌های مذکور را از یکدیگر تفکیک نمود. بطوریکه این نسبت در نمونه‌های با کانی‌سازی توده‌ای به مراتب بزرگتر از نمونه‌های با کانی‌سازی افshan می‌باشد و از این نتیجه می‌توان در اکتشافات معدنی استفاده نمود. لازم به ذکر است که میانگین قابلیت قطبی شدن ظاهری در نیم ثانیه پس از قطع جریان برای نمونه‌های با کانی‌سازی توده‌ای و افshan دارای مقادیر نسبتاً زیاد و تقریباً نزدیک به یکدیگر می‌باشد و لذا اگر فقط $\frac{۰/۵}{۱۷}$ اندازه‌گیری شود به هیچ وجه نمی‌توان تفکیکی بین ناهنجاریهای قابلیت قطبی شدن ظاهری از حيث نوع کانی‌سازی قابل شدن.

کلیدواژه‌ها: ناهنجاری، قابلیت قطبی شدن ظاهری، توده‌ای، افshan و روش IP

۱ مقدمه

روشهای ژئوفیزیکی امروزه در اکتشافات کانسارهای فلزی به طور روزافزون بکار برده می‌شوند و به منظور تفسیر اندازه‌گیریهای

متشكل از کلریت شیست، سیلت استون، ماسه سنگ، کوارتزیت، ریولیت، ریوداصلیت، آندزیت و گنایس می‌باشد که به مجموعه آنها سازند تکنار^۱ گفته می‌شود. سن این سازند پرکامبرین می‌باشد. کانی‌سازی اولیه متشکل از کانیهای کالکوپیریت، پیروتیت، کالکوسیت، مگنتیت، گالن و اسفالریت به دو صورت توده‌ای و افshan در سنگهای منطقه مشاهده می‌شوند. کانی‌سازی ثانویه شامل کانیهای مالاکیت و آزوریت نیز در محدوده وسیعی در منطقه مشاهده می‌شوند.

۳ شرح دستگاه و روش اندازه‌گیری

دستگاه بکار گرفته شده در این تحقیق توسط شرکت چکی ژئوفیزیکا برنو^۲ ساخته شده است. بخش اصلی این دستگاه یک میلی ولتمتر بنام IPOR می‌باشد که تا همین اواخر در اندازه‌گیریهای IP صحرایی نیز از آن استفاده می‌شده است.

حساسیت ولتاژ این دستگاه یک میلی ولت و مقاومت ورودی آن 3×10^8 اهم می‌باشد. قبل از اندازه‌گیری، حفرات موجود در نمونه‌های سنگی می‌بایست از هوا تخلیه و از آب با مقاومت مخصوص $20 - 25 \Omega \cdot m$ اشباع شوند. سپس نمونه‌های سنگی مورد نظر باید در جای مخصوصی که توسط آب اشباع شده‌اند قرار داده شوند. الکترودهای فرستنده جریان AB و همچنین الکترودهای گیرنده MN سطح مقطعی حدود یک سانتی متر مربع دارند که توسط ماده ژلاتینی مخصوصی احاطه شده‌اند. جریان مدار AB توسط یک پیل خشک $1/5$ ولتی که از یک سری مقاومت $6 - 15\%$ مگا اهم می‌گذرد تامین می‌شود.

فقط از طریق مطالعات آزمایشگاهی میسر می‌باشد. در میان روش‌های ژئوفیزیکی، روش IP از اهمیت ویژه‌ای در اکتشافات کانسارها برخوردار است و لذا مطالعات آزمایشگاهی IP می‌تواند عامل بسیار موثری در جهت بهینه کردن روش‌های برداشت صحرایی IP و همچنین شناخت روش‌های جدید برای تفکیک انواع کانی‌سازیها از یکدیگر باشد.

در این تحقیق با اندازه‌گیری قابلیت قطبی شدن ظاهری در زمانهای مختلف پس از قطع جریان برق بر روی ۸۱ نمونه سنگ، سعی شده روشی ارایه شود که با کمک آن بتوان ناهنجاریهای IP حاصل از کانی‌سازیهای توده‌ای را از ناهنجاریهای حاصل از کانی‌سازیهای افshan تفکیک نمود. قابلیت قطبی شدن ظاهری عبارتست از (گرون توراد و کاروس^۱، ۱۹۸۴)

$$\eta_a = \frac{\Delta V_{IP}}{\Delta V} \times 100 \quad (1)$$

که در آن η_a قابلیت قطبی شدن ظاهری (به درصد)، ΔV_{IP} اختلاف پتانسیل در لحظه ا پس از قطع جریان (بر حسب میلی ولت)، ΔV اختلاف پتانسیل قبل از قطع جریان (بر حسب میلی ولت) می‌باشد.

۲ موقعیت جغرافیایی و زمین‌شناسی منطقه مورد مطالعه

نمونه‌های سنگی مطالعه شده در این تحقیق متعلق به کانسار مس تکنار می‌باشند که در فاصله ۱۲۵ کیلومتری جنوب شرقی سبزوار و ۳۱ کیلومتری شمال غرب بردسکن در استان خراسان قرار گرفته است. پetroگرافی سنگهای منطقه

1. Grunrad & Karous
3. Geofyzika Brno

2. Taknar formation

نیم ثانیه پس از قطع جریان برق، ملاک قرار دهیم، مشاهده می‌شود که همه آنها دارای مقادیر نسبتاً زیاد بوده و کم و بیش نزدیک به یکدیگر می‌باشند ولذا ملاکی برای تفکیک نوع کانی سازی در دست نداریم. در صورتیکه کمیت مذکور در نمونه‌های با کانی سازی افشاران (مثلاً نمونه‌های شماره ۵ و ۱۲-B) با گذشت زمان به سرعت افت پیدا می‌کند ولی در نمونه‌های با کانی سازی توده‌ای (مثلاً نمونه‌های شماره ۶، ۸، ۹-B، ۱۱-B و ۱۱-C) علیرغم گذشت زمان نسبتاً طولانی پس از قطع جریان برق، هنوز مقدار قابلیت قطبی شدن ظاهری مقدار قابل توجهی می‌باشد. بطوریکه اگر نسبت $\frac{\eta}{\eta_{1/2}}$ را برای آنها محاسبه کنیم، می‌بینیم که این نسبت در نمونه‌های با کانی سازی توده‌ای به مراتب بزرگتر از نمونه‌های با کانی سازی افشاران می‌باشد.

ضمانتا با توجه به وجود خطاهای اتفاقی موجود در اندازه‌گیریها، ده درصد اندازه‌گیریها تکرار شدند و با توجه به نتایج حاصله، مقدار خطای متوسط هندسی محاسبه گردید. مقدار خطای مذکور معادل $1\% \pm$ درصد محاسبه شد که با توجه به این مقدار خطای می‌توان گفت که اندازه‌گیریها از دقت کافی برخوردار بوده‌اند.

خطای متوسط هندسی عبارتست از (مارک^۱)

$$m = \pm \sqrt{\frac{\sum_{i=1}^n d_i^2}{2n}} \quad (1984)$$
(۲)

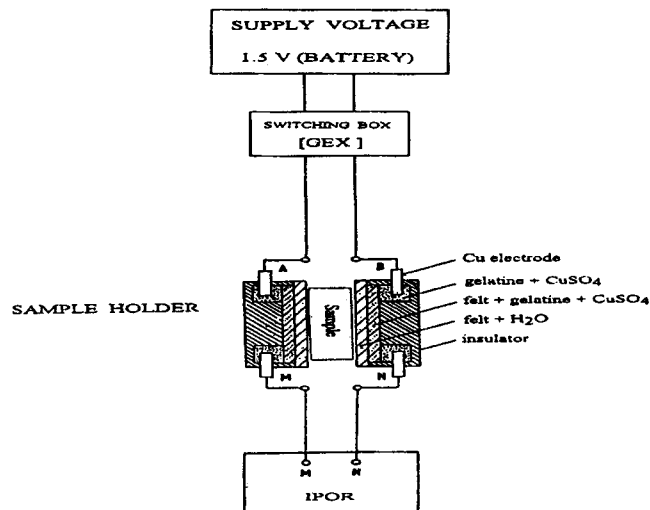
که در این معادله m خطای متوسط هندسی (به درصد)، d_i خطای اندازه‌گیری نمونه i است، n تعداد نمونه‌های تکرار شده، n شماره نمونه‌های تکرار

بطوریکه برای یک نمونه با سطوح صیقلی با سطح ۱۰ سانتی‌متر مربع چگالی جریان می‌تواند از 10^{-6} آمپر بر سانتی‌متر مربع تغییر کند. این دستگاه قابلیت قطبی شدن ظاهری را در مقیاس زمانی همانند یک کار صحراوی اندازه‌گیری می‌نماید. در این مطالعه از جریان موجکی شکل استفاده شده است بطوریکه زمان وصل جریان ۱۰ ثانیه و زمان قطع آن ۲۰ ثانیه انتخاب شده است. رانه ولتاژ الکترودهای M و N بطور خودکار توسط میلی ولتمتر IPOR جبران می‌شود. شمای کلی دستگاه مذکور در شکل شماره ۱ دیده می‌شود.

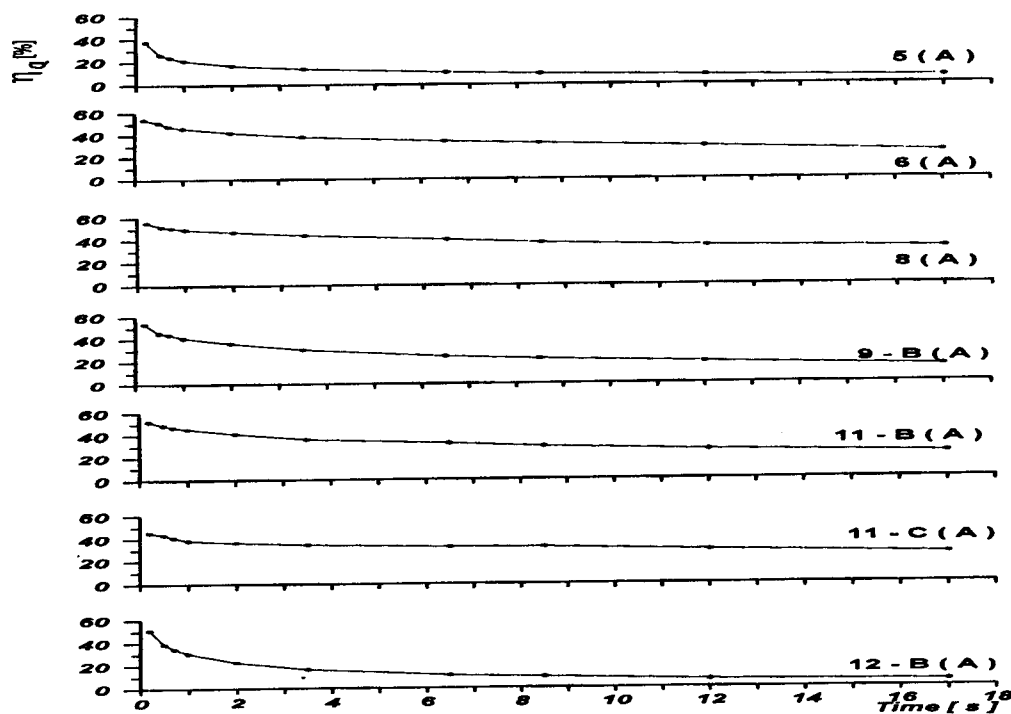
۴ بحث در مورد نتایج حاصل از اندازه‌گیری
در این تحقیق قابلیت قطبی شدن ظاهری تعدادی نمونه شناخته شده از حیث نوع کانی سازی، در زمانهای مختلف پس از قطع جریان برق اندازه‌گیری شد. ضمانتا با توجه به اینکه در این نوع اندازه‌گیریها جهت عبور جریان از نمونه‌ها نیز باید مدنظر قرار گیرد، لذا کلیه اندازه‌گیریها در سه جهت عمود بر یکدیگر A، B و C انجام شده و سپس میانگین آنها محاسبه شده است. پس از آن منحنی تغییرات مقادیر میانگین قابلیت قطبی شدن ظاهری به درصد در مقابل زمان مورد نظر پس از قطع جریان بر حسب ثانیه رسم شده است (شکل شماره ۲).

همانطور که در شکل ۲ می‌بینیم قابلیت قطبی شدن ظاهری در کلیه نمونه‌ها اعم از نوع توده‌ای و افشاران در لحظه $0/5$ ثانیه پس از قطع جریان برق، نسبتاً بزرگ است. به عبارت دیگر اگر صرفاً بخواهیم ناهنجاریهای IP حاصل از اندازه‌گیری قابلیت قطبی شدن ظاهری این نمونه‌ها را در لحظه

شده می‌باشد.
برای محاسبه خطای متوسط هندسی حداقل
۰.۵٪ نمونه‌ها باید دوباره اندازه‌گیری شوند که در
اینجا بیش از ۱۰٪ اندازه‌گیریها تکرار شده که نحوه



شکل ۱. طرح دستگاه آزمایشگاهی برای اندازه‌گیری مقادیر IP و مقاومت ویژه نمونه‌های سنگی (خوداچک، ۱۹۷۹).



شکل ۲. منحنی‌های آزمایشگاهی تغییرات مقادیر قابلیت قطبی شدن ظاهری بر حسب زمان‌های مختلف ۱ پس از قطع جریان برق بر روی ۷ نمونه گرفته شده از منطقه مطالعاتی تکنار ۲ (میرزایی، ۱۹۹۸).

جدول ۱. نحوه محاسبه $\sum_{i=1}^{10}$ جهت تعیین خطای متوسط هندسی

ردیف	شماره نمونه	اندازه‌گیری اول [%] $\eta_{i/5}$	اندازه‌گیری تکراری [%] $\eta_{i/5}$	خطای اندازه‌گیری [%] η_i	خطای اندازه‌گیری [d_i^2] $\eta_{i/2}$
۱	II-۵	۲۴/۹	۲۳/۳	۱/۶	۲/۶
۲	II-۶	۴۹	۴۷/۲	۱/۸	۳/۲
۳	II-۸	۵۳/۲	۵۵/۱	۱/۹	۳/۶
۴	II-۹-B	۴۳/۴	۴۲	۱/۴	۲
۵	II-۱۱-B	۵۱/۴	۵۳/۲	۱/۸	۳/۲
۶	II-۱۱-C	۴۵/۷	۴۳/۷	۲	۴
۷	II-۱۲-B	۳۹/۶	۳۸/۴	۱/۲	۱/۴
۸	II-۲	۲/۴	۱/۸	۰/۶	۰/۴
۹	II-۳	۱/۶	۰/۹	۰/۷	۰/۵
۱۰	II-۴	۱/۲	۱/۸	۰/۵	۰/۳
					$\sum_{i=1}^{10} d_i^2 = 21/2$

در این مقاله از تابع اندازه‌گیری آزمایشگاهی مقادیر قابلیت قطبی شدن ظاهری بر روی ۸۱ نمونه سنگی که در آزمایشگاه پتروفیزیک آکادمی علوم زمین جمهوری چک واقع در شهر پروهونیتسه^۱ اندازه‌گیری شده‌اند، استفاده شده است. در این رابطه از همکاری مسئولین محترم دپارتمان ژئوفیزیک کاربردی دانشکده علوم دانشگاه چارلز و آکادمی علوم جمهوری چک و همچنین از مسئولین محترم شرکت زمین کاوگستر (وابسته به جهاد دانشگاهی دانشگاه تهران)، سازمان زمین‌شناسی ایران و شرکت پارس فدک (وابسته به بنیاد مستضعفان و جانبازان) که امکانات لازم را جهت نمونه‌برداری از سنگهای محدوده معدنی کانسار مس تکنار فراهم نمودند و همچنین

محاسبه در جدول شماره ۱ آورده شده است.

۵ نتیجه‌گیری

با اندازه‌گیری قابلیت قطبی شدن ظاهری در دو زمان زود و دیر پس از قطع جریان برق (مثلاً ۰/۵ و ۰/۱۷ ثانیه) و سپس محاسبه نسبت $\frac{\eta_{17}}{\eta_{0/5}}$ می‌توان ناهنجاریهای IP حاصل از کانی‌سازی‌های نوع توده‌ای را از افشار تفکیک نمود. بدین ترتیب که این نسبت در سنگهای با کانی‌سازی توده‌ای به مراتب بزرگتر از سنگهای با کانی‌سازی افشار می‌باشد و از این نتیجه می‌توان در اکتشافات معدنی استفاده نمود.

۶ قدردانی

همکاران محترم موسسه نشر جهاد (وابسته به جهاد دانشگاهی) و پرسنل محترم هیئت تحریریه مجله فیزیک زمین و فضا که در تایپ و آماده سازی این مقاله قبول زحمت نموده اند، صمیمانه تشکر و قدردانی می نمایم.

منابع

- Chudacek, S., 1979, Laboratory determination of electric properties of rocks: Sbornik geol. ved, UG. **18**, 179- 181.
- Gruntorad, J., and Karous, M., 1984, Geoelectrical methods, In Mares S. et. al. : Introduction to applied geophysics, Reidel Publ. Co., 263- 388.
- Marek, F., 1984, Magnetometric methods, In Mares S. et. al. : Introduction to applied geophysics, Reidel Publ. Co., 71- 153.
- Mirzaei, S., 1998, Application of geophysical methods and petrophysical for Copper ore prospecting in the Taknar area- Iran, Ph. D. thesis, Charles University, Prague, Czech Republic.